

東京大学工学部 正員 ○浅枝 隆
埼玉大学工学部 正員 池田 駿介
長野県方 木村 恵利子

1. はじめに

波動下に建造された構造物周辺の流れや消波効果については、海岸工学上極めて重要な問題であるにしかからず、十分な研究がなされているとはいえない。著者らは、これまで、最も単純な構造物である波動下に置かれた垂直板付近に生ずる渦の定性的な特性と砂の移動特性の関連性について明らかにしてきた。本研究においては、こうした渦の特性を定量的に捉え、さらに消波効果との関連性を明確にしに行く。

2. 実験装置及び実験方法

実験は、長さ 19.5m、幅 40cm、深さ 70cm の造波水路の中央に、図 1 に示されるように垂直板を置いて行なった。板の高さは、12, 16, 18, 20, 24cm の 5 種類のものを用いた。水深は、 $(h-l)/h$ の値が、0.1, 0.2, 0.4, 0.6, 0.7 の 5 種類とすることに決定した。波の周期は、0.8, 1.0, 1.5, 1.8, 2.0 sec の 5 種類の値に変化させた。波高は 0.73 ~ 8.73 cm の範囲で、1 ケースにつき 2 ~ 3 種類を行なった。波高の測定には、4 台の容量式波高計を用いた。さらに、垂直板付近の流れの可視化および流速の測定には、比重 1.02、粒径 0.2 ~ 0.8 mm のポリスチレン粒子を浮遊させ、それに、1 cm 幅の船直スリット光を縦断方向に照射し、粒子の軌跡より求めた。その際、波高計の記録と連動させ、波の位相との関連性を得た。

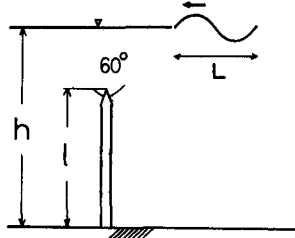


図 1 実験概略図

3. 垂直板を通過する波の透過率、反射率、逸散率

水路の岸側には消波装置を取り付けているが、入射してくる波の 2% 程度の反射を生じ、また、造波板による波の反射が存在する。従って、生ずる波が十分正弦曲線に近似しえることを確認した上で、垂直板の岸側に冲側にかけられ 2 台ずつ波高計を設置し、それらの波高計から出力する波形を $\eta_i = a_i \cos \omega t + b_i \sin \omega t$ の形に表わし、透過率 T 、および、反射率 R を次式より求めた。

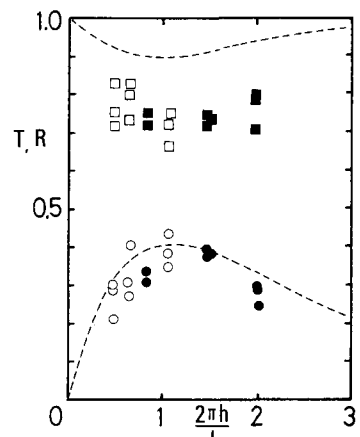
$$T = \left\{ \frac{(a_3 + \beta)^2 + (b_3 + \delta)^2}{(a_3 + \alpha)^2 + (b_3 + \gamma)^2} \right\}^{\frac{1}{2}}, \quad R = \left\{ \frac{(a_3 - \alpha)^2 + (b_3 + \gamma)^2}{(a_3 + \alpha)^2 + (b_3 + \gamma)^2} \right\}^{\frac{1}{2}} \quad (1)$$

ただし、 $a_1 \sim a_4$, $b_1 \sim b_4$ は岸側から 4 台の波高計の記録より求めたたる値であり、 $\alpha, \beta, \gamma, \delta$ は x_1 を岸側の波高計の間隔、 x_2 を沖側の波高計の間隔として、次のように表わされた。

$$\alpha = \frac{b_3 \cos kx_2 - b_4}{\sin kx_2}, \quad \beta = \frac{b_1 \cos kx_1 - b_2}{\sin kx_1}, \quad \gamma = \frac{a_4 - a_3 \cos kx_2}{\sin kx_2}, \quad \delta = \frac{a_2 - a_1 \cos kx_1}{\sin kx_1}$$

ここで、 k は波の波数である。

図 2 は、測定結果の典型的な例を示す。 $l/h = 0.8$ の場合のものと示す。図中の破線は、日野、山崎による完全流体と一致取扱い場合の理論結果を示している。図より明らかのように、反射率に関しては、完全流体と一致の場合の結果とはほぼ一致し、エネルギー逸散はほとんど存

図 2 波の透過率、反射率
■：透過率；○：反射率

在1つのかぎ、透過率に関するのは、完全流体を用いた計算結果より約20%小さな値を示している。この原因は、垂直板附近に生成される渦の粘性遮散によるものと考えられるか。このように、波が垂直板を通過して行く際にエネルギーが失われることを示していると言える。

4. 垂直板先端より発生する渦の特性

垂直板先端からて、1周期について2つの大きな渦が発生する。波のエネルギー遮散がこうした渦の粘性遮散に依ることを示すために、渦の中心エネルギーと波のエネルギー遮散量を比較して論ずる必要がある。しかし、渦の形成過程においても一部のエネルギーは遮散されており、特に、渦中心から離れた領域では、広い領域であるにせかからず流速が小さいために測定が困難で、渦のエネルギーを過小に見積ってしまうことになる。そのため、実験の渦を適当なモデル化された渦で近似させる必要がある。ここでは、通常よく使用されるランキン渦と、粘性を考慮したオセーンの渦の適用性を検討する。これらの渦は、それぞれ

$$U_\theta = \frac{U_{\theta m}}{\alpha} r \quad (r < a), \quad U_\theta = \frac{a U_{\theta m}}{r} \quad (a > r) \quad (\text{ランキン渦})$$

$$U_\theta = \frac{a}{r} \left\{ 1 - \exp(-0.25(\frac{cr}{\alpha})^2) \right\} U_{\theta m} \quad (\text{オセーン渦}) \quad (2)$$

と表わされる。ここで、 U_θ は回転方向の速度、 $U_{\theta m}$ はその最大値、 r は半径方向の座標、 a はコアの半径、 c は、 $a = c\sqrt{2t}$ とした場合の定数である。ここで、 c は実験により求めた値、

$$c = 0.3547 + 12.7$$

を用いた。

図3および4は、流速および循環値について、これらの渦と実測値を比較したものである。図より、流速、循環値両者について、ランキンの渦では、小さく見積ってしまうことになるが、オセーンの渦は極めてよく実測値を表現していることがわかる。

5. 波のエネルギー遮散量と渦のエネルギーの比較

4に示したように、渦の有するエネルギーは、オセーンの渦に限り極めてよく近似できるため、これより求めた渦のエネルギーと波の遮散エネルギー量を比較したものが図5である。測定誤差が含まれるために多少のはらつきはあるものの、これらの値はほぼ同様の値となることがわかる。これより、波のエネルギー遮散が板先端より発生する渦により生じたことがわかる。

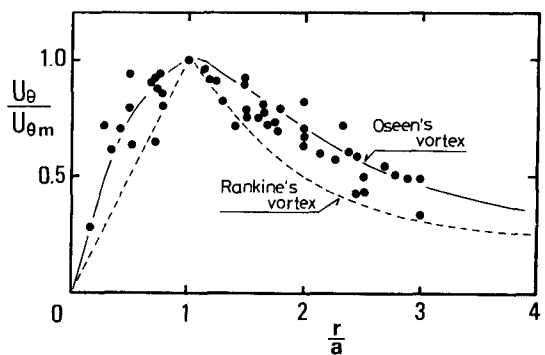


図3 渦内部の回転流速の分布

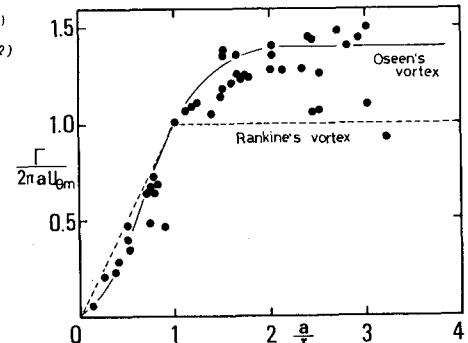


図4 渦内部の循環の分布

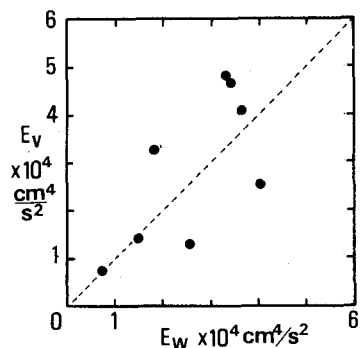


図5 波のエネルギー遮散量と渦のエネルギーの比較
E_w: 波のエネルギー遮散量, E_v: 渦のエネルギー

参考文献

- 1) 池田駿介・浅枝隆・杉本光由・玉川雅文; 第30回海岸工学講演会論文集
- 2) 日野幹雄・山崎文夫; 土木学会論文報告集, 第190号